

鶴鷺工業専門学校 正会員 武田八郎
関西大学工学部 正会員 三上巣藏

1. まえがき 一様断面Tガーダーのせん断耐荷力に関する研究は、従来から多数行なわれてきているが、変断面Tガーダーに関しては比較的少なく、Fallby¹⁾が Basler²⁾ の考え方で、最近では Mandal^{3), 4)} が Porter⁵⁾ の考え方を拡張して、理論的・実験的研究を行なっている。Mandal は、腹板高さが直線的に変化し、フランジが中空長方形断面を有する桁について実験を行なっているが、我々は今回、フランジが長方形板の場合についてせん断耐荷力実験を行なったので、その結果について報告する。

2. 試験概要 試験桁(TS-1, TS-2の2体)は、腹板高さが圧縮側で直線的に変化し、2体は低い方の腹板高さが異なるのみである。設計寸法を図-1に示すが、フランジの傾斜角をドビ最腹板高さに対する腹板の幅厚比は、それぞれTS-1で8.90, TS-2で17.20, 28.6であり、幅厚比の大きなものを使用した。Mandal の実験におけるそれは、26.30~26.70, 157~200であり、フランジの傾斜角がかなり大きい。試験ハーネルとしては片側のハーネルのみをとり、反対側のハーネルには斜め補剛材を配して変形を防止した。桁の横倒れを防止するために、スパン中央に横倒れ防止棒を、桁には支点上の位置に強固なウイングを取り付けた。桁の両端を単純支持し、スパン中央に集中載荷した。材料試験結果を表-1に示す。

3. 測定結果 腹板の初期たわみは、両桁とも最大4mmであった。

両桁とも試験ハーネル腹板に張力場が発生し、フランジに塑性ヒンジが形成されて破壊した。変断面Tガーダーのせん断耐荷力が“つづ”のように表わされるものとある。

$$V_{ult} = V_{cr} + V_t \quad \text{--- (1)}$$

ただし、 V_{cr} は腹板のせん断応力によって負担されるせん断力、 V_t は斜張力場によって負担されるせん断力である。表-2に、破壊荷重をドビ Mandal の理論による計算値を示す。実験値は理論値よりも、両桁とも約12~13%低めである。桁の破壊状況を写真-1に示す。

図-3および4には、それがTS-1, 2桁の上フランジの残留たわみと腹板の残留たわみ分布を示す。それが腹板に張力場が発生している状況が良く分るか、いずれの場合も、腹板の圧縮側に大きな残留たわみが生じているのが変断面桁の特徴であろうと思われる。張力場の傾きも

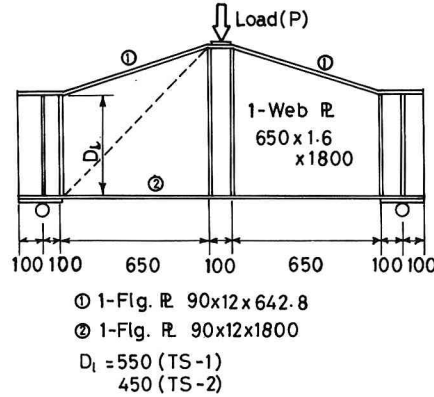


Fig.1 Tapered Girders

Table 1 Yield Stress, Kg/mm²(N/mm²)

	Flange	Web
TS-1	28.8 (282)	29.3 (287)
TS-2	28.8 (282)	33.0 (323)

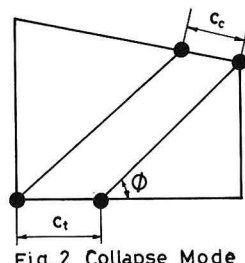


Fig.2 Collapse Mode

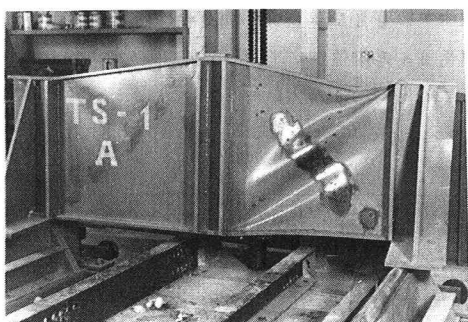


Photo 1

は、TS-1 で 22.1° , TS-2 で 23.9° であったが、計算値はそれぞれ 24.6° , 20.5° と位の値を取っている。圧縮フランジの塑性ヒンジの位置 C_t は、TS-1 で 14.4 cm , TS-2 で 16.4 cm であったが、計算値はそれより 19.7 cm , 17.1 cm とかなり良い一致を示している。一方、引張フランジの塑性ヒンジの位置 C_t は、圧縮フランジのそれほど明確ではないが、TS-1 で 23.0 cm , TS-2 で 30.8 cm であり、計算値はそれより 26.9 cm , 30.1 cm である。

図一五には、
TS-1 における
圧縮フランジ
の軸方向ひずみ

の、荷重別変化を示している。荷重が小さい間は、ほぼ均一なひずみ分布を示すが、塑性ヒンジの形成が近づくにつれて、塑性ヒンジ位置付近でのひずみが急激に大きくなる状況が良く分かる。フランジの軸力が全塑性モーメントに及ぼす影響を考慮しない場合のせん断耐荷力の理論値は、TS-1 で $11.62t$ (113.9 kN), TS-2 で $12.90t$ (126.5 kN) である。

Table 2 Shear Strength, ton(kN)

	V_{cr}	V_t	$V_{ult,th}$	$V_{ult,ex}$
TS-1	1.09(10.7)	10.41(102.1)	11.50(112.8)	10.28(100.8)
TS-2	1.15(11.3)	11.56(113.4)	12.71(124.6)	11.25(110.3)

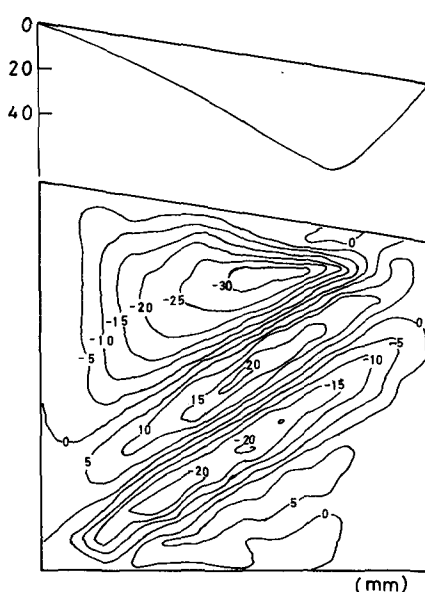


Fig. 3 Residual Deflection
(TS-1)

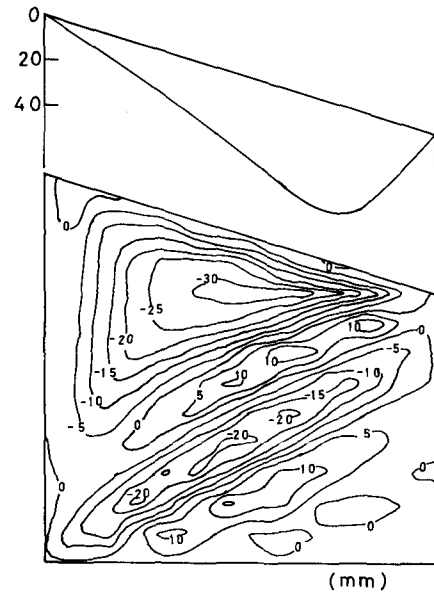


Fig. 4 Residual Deflection
(TS-2)

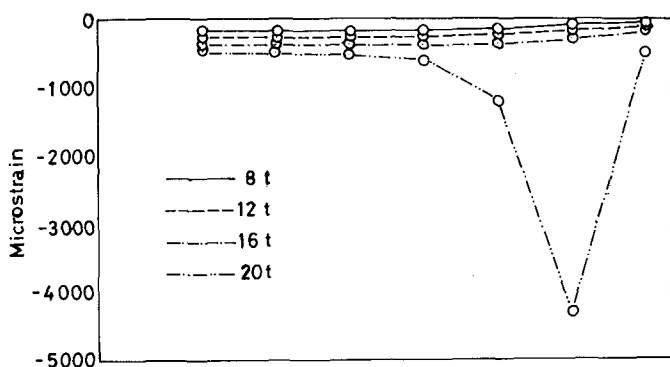


Fig. 5 Strains in Compression Flange
(TS-1)

- 1) Falby, W.E. and Lee, G.C.: Tension-field design of tapered webs. Engng J. Am. Inst. Steel Contr., Vol. 13, 1976.
- 2) Basler, K.: Strength of plate girders in shear, Proc. of ASCE, Vol. 87, No. ST7, 1961.
- 3) Davies, G. and Mandal, S.N.: The Collapse Behaviour of Tapered Plate Girders Loaded within the Tip, Proc. Instn. Civ. Engrs, Part 2, Vol. 67, 1979.
- 4) Park, G. and Mandal, S.N.: Tapered Steel Beams Loaded within Tip, Proc. of ASCE, Vol. 105, No. ST3, 1979.
- 5) Porter, D.M., Rockey, K.C. and Evans, H.R.: The collapse behaviour of plate girders loaded in shear, Structural Engineer, Vol. 53, No. 8, 1975.